

# ΠΡΑΚΤΙΚΑ ΤΗΣ ΑΚΑΔΗΜΙΑΣ ΑΘΗΝΩΝ

---

ΣΥΝΕΔΡΙΑ ΤΗΣ 21ΗΣ ΙΑΝΟΥΑΡΙΟΥ 1999

ΠΡΟΕΔΡΙΑ ΓΕΩΡΓΙΟΥ ΜΗΤΣΟΠΟΥΛΟΥ

---

ΑΣΤΡΟΝΟΜΙΑ.— **Τάξη καὶ Χάος στὸ Χῶρο τῶν Φάσεων**, ὑπὸ τοῦ Ἀκαδημαϊκοῦ  
Γ. Κοντόπουλον καὶ τῶν κ.κ. N. Βόγγλη καὶ X. Εὐθυμιόπουλον\*.

## 1. Εἰσαγωγὴ

Θ' ἀναφερθῶ στὸ ἔργο τὸ ὁποῖο ἔγινε κατὰ τὸ περασμένο ἔτος μὲ τὴν ἐνίσχυση τῆς Ἐπιτροπῆς Ἐρευνῶν τῆς Ἀκαδημίας. Τὰ ἀποτελέσματα τῆς ἔρευνας αὐτῆς εἶναι ὑπὸ δημοσίευση σὲ 6 ἔργασίες:

1. Contopoulos, G. and Voglis, N. (1999),
2. Contopoulos, G., Efthymiopoulos, C. and Voglis, N. (1999).
3. Voglis, N., Contopoulos, G. and Efthymiopoulos, C. (1999).
4. Efthymiopoulos, C., Voglis, N. and Contopoulos, G. (1999).
5. Efthymiopoulos, C., Contopoulos, G. and Voglis, N. (1999).
6. Contopoulos, G., Voglis, N. and Efthymiopoulos C. (1999).

Ἐδῶ θὰ δώσουμε μόνο μία σύνοψη τῶν ἀποτελεσμάτων τῶν 5 πρώτων ἔργασιῶν, καὶ νεώτερα στοιχεῖα ποὺ δὲν ἔχουν ἀκόμη δημοσιευθεῖ.

Ἐν πρώτοις χῶρος τῶν φάσεων εἶναι ὁ χῶρος ποὺ περιλαμβάνει τὶς συντεταγμένες καὶ τὶς ταχύτητες. Π.χ. ἂν ἔχουμε 2 συντεταγμένες, x καὶ y, ὁ χῶρος τῶν φάσεων εἶναι 4 διαστάσεων γιατὶ περιλαμβάνει καὶ τὶς ταχύτητες  $u_x, u_y$ . Θὰ θεωρήσουμε συστήματα διατηρητικά, δηλαδὴ συστήματα ποὺ διατηροῦν τὴν ἐνέργεια. "Ετσι οἱ διαστάσεις ἐλαττώνονται σὲ 3. "Αν τώρα πάρουμε μία ἐπιφάνεια τομῆς, ποὺ τέμνει ὅλες τὶς τροχιές, ἔχουμε ἓνα χῶρο 2 διαστάσεων. Αὕτος εἶναι ὁ χῶρος τῶν φάσεων ποὺ μελετοῦμε.

---

\* G. CONTOPOULOS, N. VOGLIS, C. EFTHYMIOPoulos, Order and Chaos in Phase Space,

Δύο παραδείγματα έπιφανειῶν τομῆς δίνονται στὸ σχ. 1 (a,b). Τὸ σχ. 1a ἀντιστοιχεῖ στὴν τυπικὴ ἀπεικόνιση

$$\begin{aligned} x' &= x + y' \\ y' &= y + \frac{k}{2\pi} \sin 2\pi x \end{aligned} \quad (\text{mod } 1) \quad (1)$$

ὅταν  $K = 10$ , ἐνῷ τὸ σχ. 1b ἀντιστοιχεῖ στὴν ἀπεικόνιση τοῦ Hénon

$$\begin{aligned} x' &= 1-K' x - y \\ y' &= x \end{aligned} \quad (\text{mod } 1) \quad (2)$$

ὅταν  $K' = 7.407$

## 2. Ἀσυμπτωτικὲς καμπύλες καὶ φάσματα διαστολῆς καὶ ἐλικώσεως.

Πάνω στὴν ἔπιφάνεια τομῆς οἱ περιοδικὲς τροχιές παρίστανται σὰν σημεῖα. Π.χ. τὸ σημεῖο ( $x_0 = y_0 = 0$ ) στὴν τυπικὴ ἀπεικόνιση εἶναι μιὰ περιοδικὴ τροχιά περιόδου 1. Στὴν ἀπεικόνιση τοῦ Hénon ἡ περιοδικὴ τροχιά περιόδου 1 βρίσκεται στὸ σημεῖο ( $x_0 = y_0 = 0.256444$ ). Οἱ τροχιές αὐτὲς εἶναι ἀσταθεῖς. Τὰ σχήματα 1a, 1b δίνουν τὶς ἀσταθεῖς ἀσυμπτωτικὲς καμπύλες ἀπὸ τὶς ἀπλές περιοδικὲς τροχιές περιόδου 1. "Οπως βλέπουμε οἱ ἀσυμπτωτικὲς καμπύλες καὶ στὶς δύο περιπτώσεις γεμίζουν ὅλον τὸν χῶρο τῶν φάσεων, ἀλλὰ κατὰ πολὺ διαφορετικὸ τρόπο.

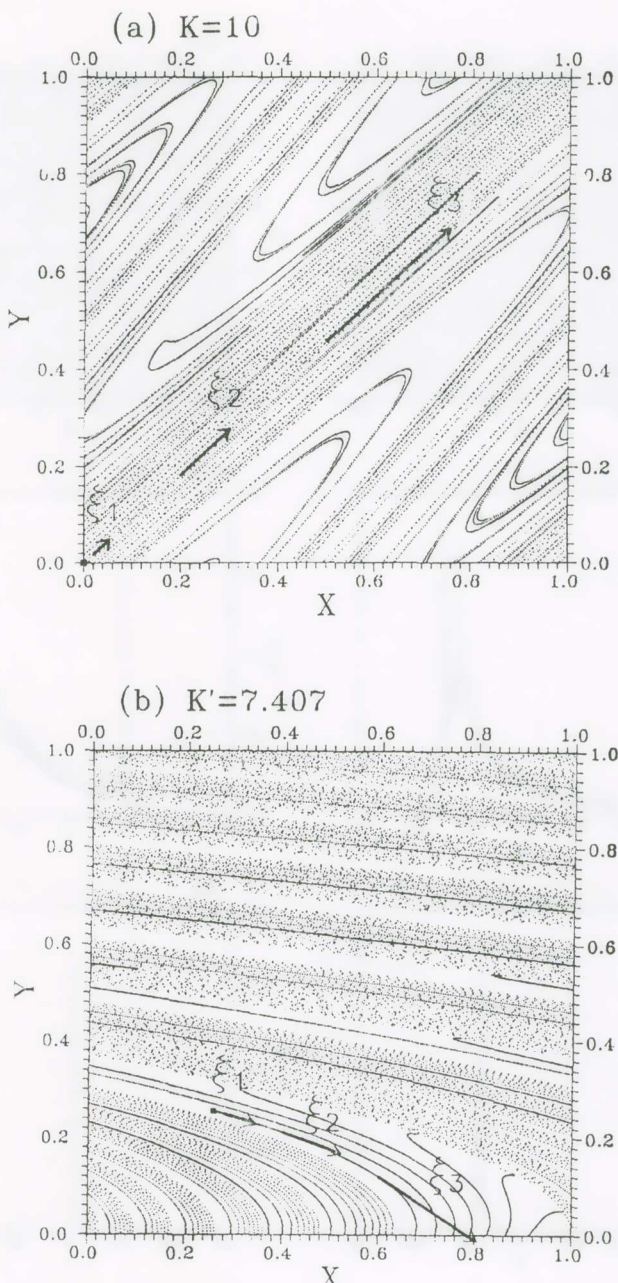
"Αν πάρουμε ἔνα μικρὸ διανυσματικὸ  $\xi_1$  πάνω στὴν ἀσυμπτωτικὴ καμπύλη καὶ κοντὰ στὴν περιοδικὴ τροχιά, οἱ διαδοχικές του εἰκόνες εἶναι  $\xi_2, \xi_3, \dots, \xi_n$ . Ὁρίζουμε τότε δύο βασικὰ ποσά: (α) τὸν «ἀριθμὸ διαστολῆς»

$$a_n = \ln |\xi_{n+1}/\xi_n|, \quad (3)$$

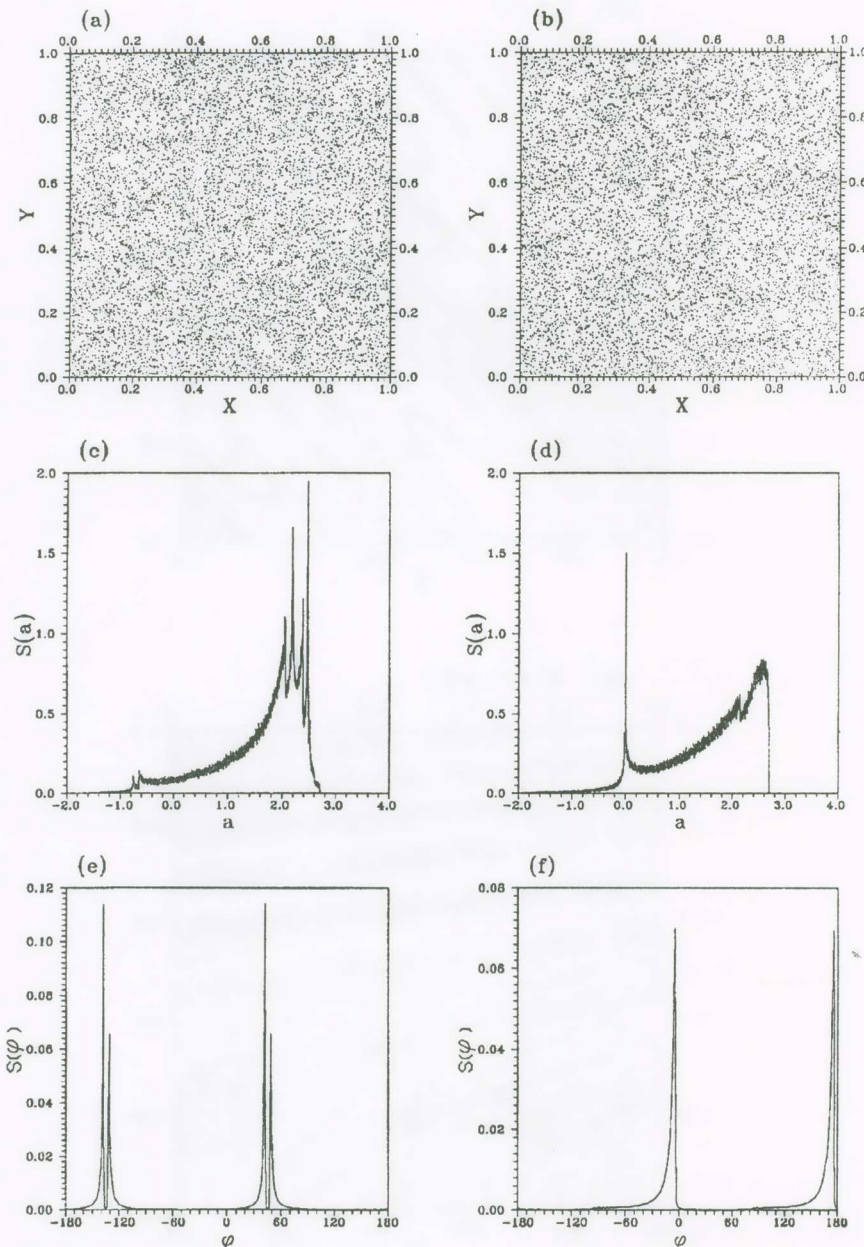
ποὺ εἶναι ὁ λογάριθμος τοῦ λόγου τῶν μέτρων τῶν διανυσμάτων  $\xi_{n+1}$  καὶ  $\xi_n$ , καὶ (β) τὴν γωνία φον τοῦ διανύσματος  $\xi_n$  με τὸν ἀξονα τοῦ, ποὺ λέγεται γωνία ἐλικώσεως.

Οἱ κατανομὲς τῶν ἀριθμῶν διαστολῆς καὶ τῶν γωνιῶν ἐλικώσεως δίνουν τὰ ἀντίστοιχα φάσματα. Στὰ σχήματα 2 δίνουμε τὴν κατανομὴ 10.000 εἰκόνων τοῦ ἰδίου ἀρχικοῦ σημείου ( $x = 0.1, y = 0.5$ ) στὴν τυπικὴ ἀπεικόνιση καὶ στὴν ἀπεικόνιση Hénon (σχ. 2a,b), καὶ τὰ ἀντίστοιχα φάσματα τῶν ἀριθμῶν διαστολῆς (σχ. 2c,d) καὶ τῶν γωνιῶν ἐλικώσεως (σχ. 2e,f).

Παρατηροῦμε ὅτι ἡ κατανομὴ τῶν σημείων στὰ σχήματα 2a καὶ b εἶναι πολὺ δ̄μοια καὶ μάλιστα μοιάζει πολὺ μὲ μία τυχαία κατανομὴ. "Ομως τὰ φάσματα τῶν ἀριθμῶν διαστολῆς καὶ τῶν γωνιῶν ἐλικώσεως τῶν δύο ἀπεικονίσεων εἶναι πολὺ διαφορετικά. Εἶναι γνωστὸ (Voglis and Contopoulos 1994) ὅτι ἡ μέση τιμὴ τοῦ ἀριθμοῦ διαστολῆς εἶναι ἵση μὲ τὸν χαρακτηριστικὸ ἀριθμὸ Lyapunov τοῦ συστή-



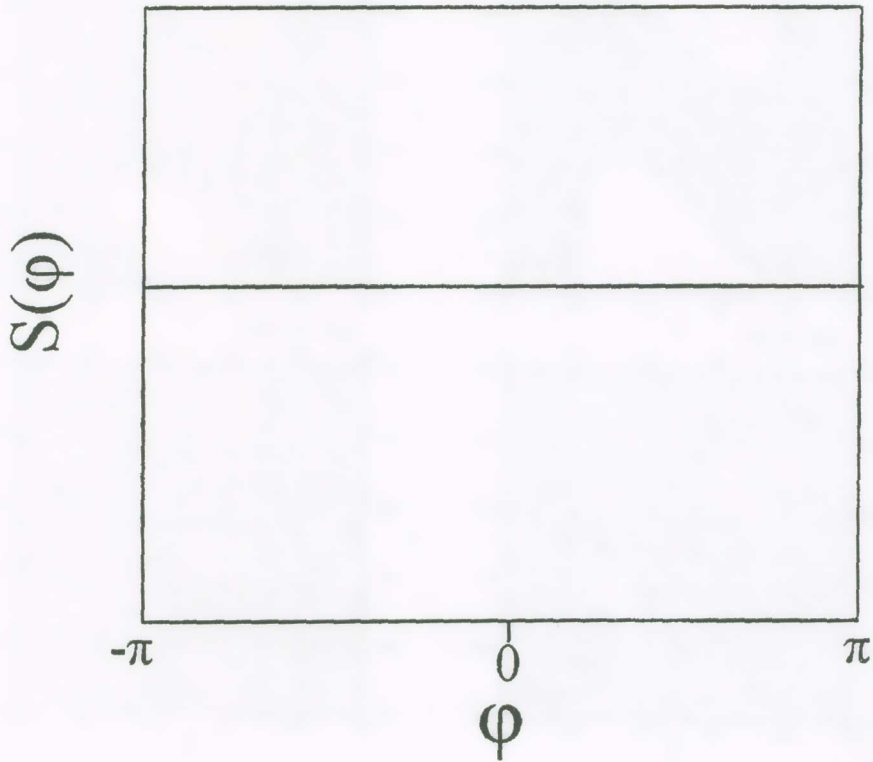
Σχ. 1a-b. Οι δεσταθείς άσυμπτωτικές καμπύλες από την περιοδική τροχιά περιόδου 1 στις περιπτώσεις (a) της τυπικής άπεικονίσεως (1) για  $K = 10$ , και (b) της άπεικονίσεως Hénon (2) για  $K' = 7.407$ .



Σχ. 2a-f. Η κατανομή 10.000 σημείων τροχιάς που δρχίζει από το σημείο  $(x = 0.1, y = 0.5)$  (a) στήν τυπική άπεικόνιση (1) για  $K = 10$  και (b) στήν άπεικόνιση Hénon (2) για  $K' = 7.407$ , καθώς και τὰ άντιστοιχα φάσματα δριθμῶν διαστολῆς (c και d) και γωνιῶν έλικώσεως (e και f).

ματος. Στις δύο περιπτώσεις ποὺ μελετοῦμε  $K = 10$  καὶ  $K' = 7.407$  ὁ ἀριθμὸς Lyapunov εἶναι ὁ 7διος  $LCN=1.620$ . Ἐν τούτοις ἡ κατανομὴ τῶν ἀριθμῶν διαστολῆς γύρω ἀπὸ τὴν τιμὴν  $LCN$  εἶναι πολὺ διαφορετική.

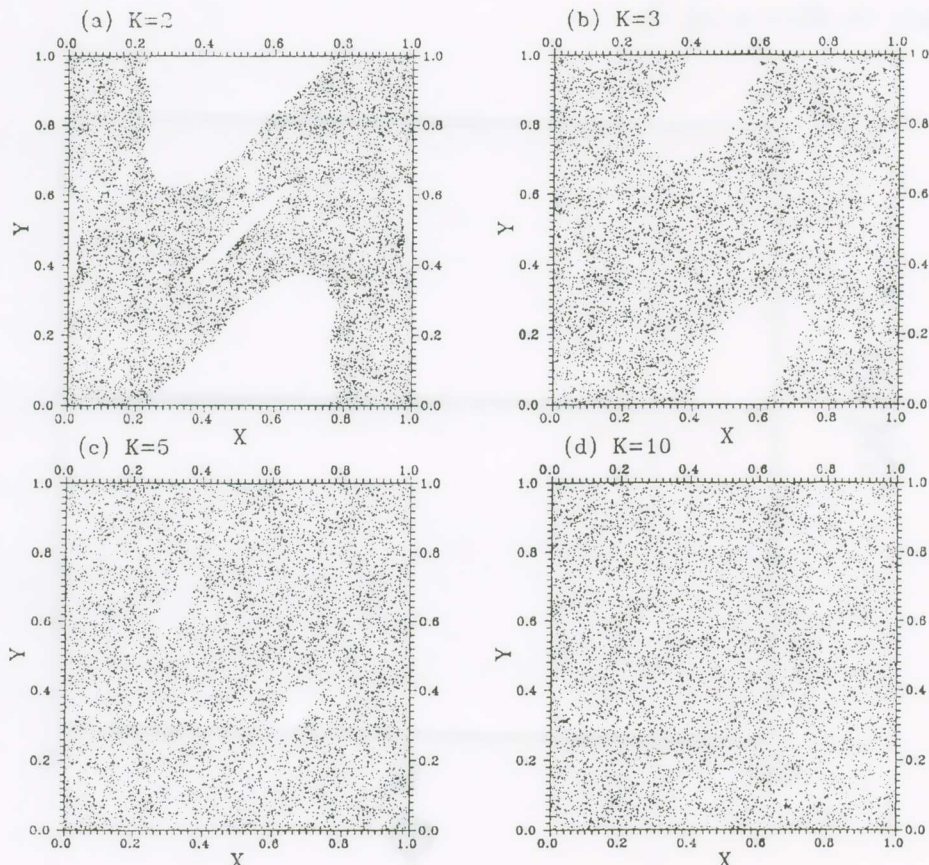
Ἐξ ἄλλου τὰ φάσματα μιᾶς τυχαίας κατανομῆς εἶναι ἐντελῶς διαφορετικά καὶ ἀπὸ τὶς δύο κατανομὲς  $2c,d$  καὶ  $2e,f$ . Πράγματι ὁ χαρακτηριστικὸς ἀριθμὸς Lyapunov μιᾶς τυχαίας κατανομῆς εἶναι ἀπειρος, ἐνῶ οἱ γωνίες ἐλικώσεως εἶναι τυχαῖες, καὶ κατὰ συνέπεια τὸ φάσμα τῶν γωνιῶν ἐλικώσεως εἶναι μία εὐθεία παράλληλη πρὸς τὸν ἀξονὰ φ (σχ. 3).



Σχ. 3. Ἡ κατανομὴ τῶν γωνιῶν ἐλικώσεως  $S(\phi)$  συναρτήσει τοῦ  $\phi$  σὲ μία τυχαία κατανομή.

"Οταν ἡ παράμετρος  $K$  τῆς τυπικῆς ἀπεικονίσεως μεταβάλλεται, ἡ μορφὴ τοῦ χώρου τῶν φάσεων μεταβάλλεται.

Στὸ σχ. 4 συγκρίνουμε τὶς κατανομὲς τῶν 10.000 σημείων μιᾶς χαοτικῆς τροχιᾶς μὲ τὶς ἔδιες ἀρχικές συνθῆκες ( $x = 0.1$ ,  $y = 0.5$ ) καὶ  $K=2,3,5$  καὶ 10. Γιὰ σχετικῶς μικρὰ  $K$  ὑπάρχουν μεγάλες λευκές περιοχές ποὺ ἀντιστοιχοῦν σὲ νησίδες εὐσταθείας στὶς ὁποῖες ἡ χαοτικὴ τροχιὰ δὲν μπορεῖ νὰ εἰσέλθει. Καθὼς τὸ  $K$  μεγαλώνει οἱ νησίδες μικραίνουν. Π.χ. γιὰ  $K = 3$  ὑπάρχει μία μόνον νησίδα (ἡ μισή φαίνεται στὸ κάτω μέρος ἐνῶ ἡ ἄλλη μισὴ στὸ ἐπάνω μέρος). Γιὰ  $K=5$  ἡ νησίδα



Σχ. 4a-d. Κατανομὴ 10.000 σημείων μιᾶς τροχιᾶς μὲ ἀρχικές συνθῆκες ( $x=0.1, y=0.5$ ) στὴν τυπικὴ ἀπεικόνιση ὅταν: (a)  $K=2$ , (b)  $K=3$ , (c)  $K=5$ , (d)  $K=10$ .

αὐτὴ διασπᾶται σὲ 2 ἵσες νησίδες, συμμετρικές ὡς πρὸς τὸ κέντρον. Τέλος γιὰ  $K=10$  οἱ 2 νησίδες ἔχουν ἔξαφανισθεῖ. 'Υπάρχουν ὅμως ἀκόμη μικροσκοπικές νησίδες ποὺ δὲν ξεχωρίζουν στὸ σχῆμα αὐτό. 'Η κατανομὴ τῶν σημείων πάντως εἶναι σχεδὸν τυχαία.

Για μεγαλύτερα  $K$  ή κατανομή τῶν σημείων τῆς χαοτικῆς τροχιᾶς είναι πολὺ δροσιά πρὸς τὴν περίπτωση  $K=10$ .

Για νὰ ἔξετάσουμε λεπτομερέστερα τὸν χῶρο τῶν φάσεων δίνουμε στὸ σχ. 5 τὶς ἀσυμπτωτικὲς καμπύλες τῆς ἀσταθοῦς περιοδικῆς τροχιᾶς ( $x = y = 0$ ) γιὰ διάφορες τιμὲς τοῦ  $K$ . Παρατηροῦμε ὅτι οἱ καμπύλες αὐτὲς ἀλλάζουν καθὼς τὸ  $K$  αὔξανει. Π.χ. γιὰ  $K=2$  οἱ καμπύλες αὐτὲς ἀφήνουν μεγάλα κενά, τὰ δποῖα μικράνουν καθὼς τὸ  $K$  μεγαλώνει.

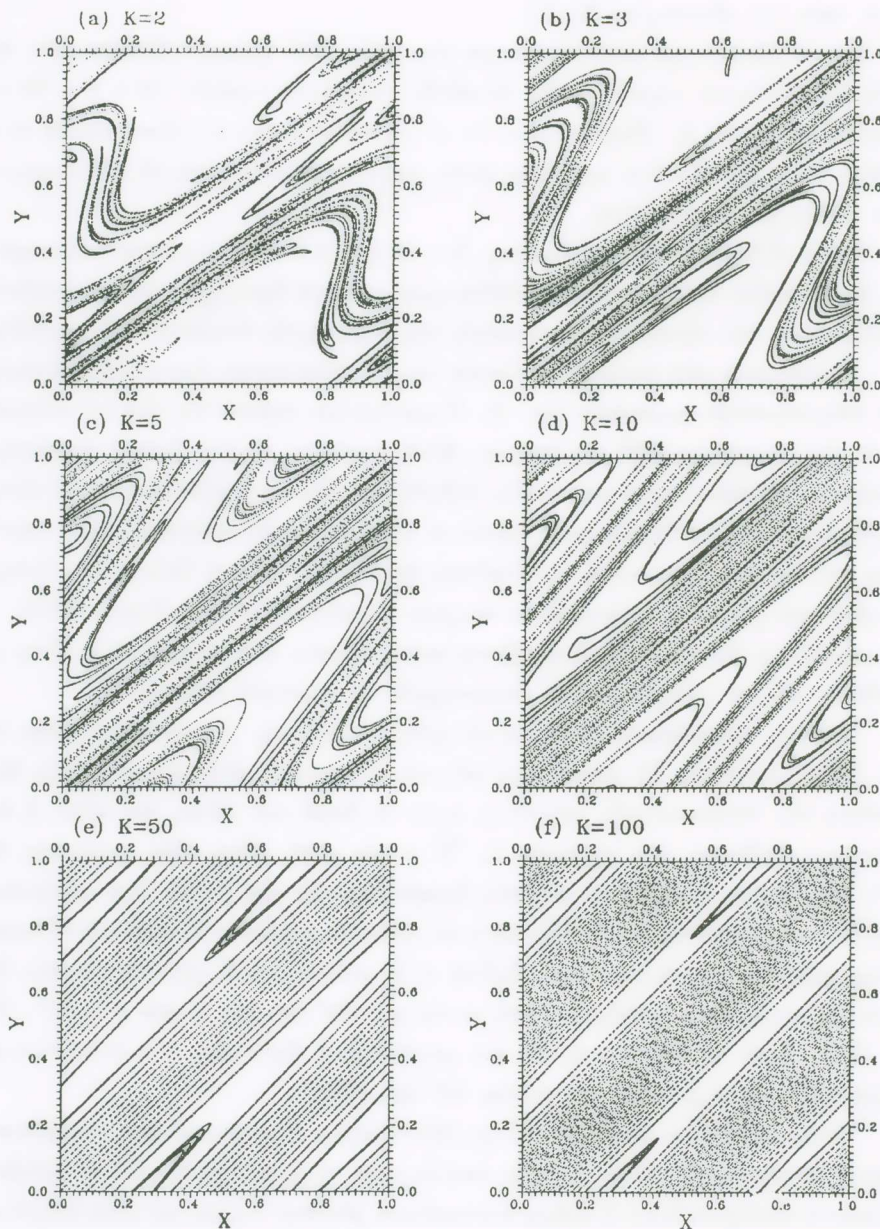
"Οταν τὸ  $K$  γίνει πολὺ μεγάλο (π.χ.  $K=50$  ή  $K=100$ ), οἱ ἀσυμπτωτικὲς καμπύλες ἔχουν πολλὰ τμήματα σχεδὸν εὐθύγραμμα, πάντοτε ὅμως ἔχουν σημεῖα μεγίστου ἢ ἐλαχίστου, ποὺ προκαλοῦν ἀντιστροφὴ τῆς πορείας τῆς ἀσυμπτωτικῆς καμπύλης.

Τὰ φάσματα τῶν γωνιῶν ἑλικώσεως (σχ. 6) προκύπτουν ἀμεσα ἀπὸ τὴ μορφὴ τῶν ἀσυμπτωτικῶν καμπυλῶν (σχ. 5). Παρατηροῦμε πρῶτον ὅτι ὅλα τὰ φάσματα ἔχουν μία συμμετρία  $180^{\circ}$  ὡς πρὸς φ. Αὐτὴ ὁφείλεται σὲ ἓνα βασικὸ χαρακτηριστικὸ τῶν ἀσυμπτωτικῶν καμπυλῶν, δηλαδὴ στὸ ὅτι οἱ ἀναδιπλώσεις τῶν ἀσυμπτωτικῶν καμπυλῶν δημιουργοῦν, κοντὰ σὲ κάθε τόξο μιᾶς καμπύλης, τόξα παράλληλα ποὺ διαγράφονται κατὰ τὴν ἀντίθετη διεύθυνση. Αὐτὴ ἡ ἴδιότης δὲν ὑπάρχει ἐν γένει στὰ φάσματα ὀργανωμένων τροχιῶν (Contopoulos and Voglis 1999). Τὸ γεγονός ὅτι ἡ ἴδιότης αὐτὴ ἐμφανίζεται στὰ φάσματα τῶν σχημάτων 6 είναι μία ἀπόδειξη ὅτι τὰ φάσματα αὐτὰ ἀντιστοιχοῦν σὲ χαοτικές τροχιές.

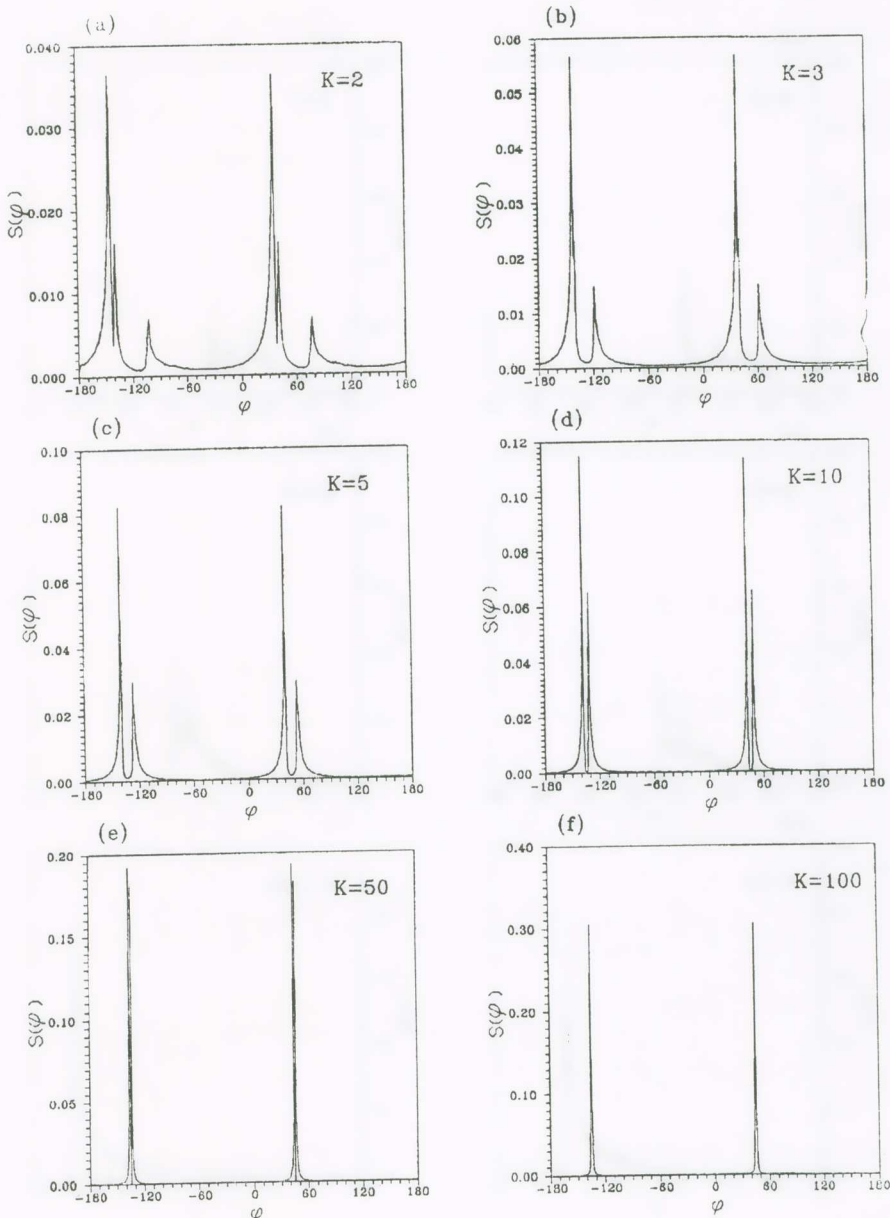
Δεύτερη παρατήρηση είναι ὅτι τὰ φάσματα τοῦ σχ. 6 χαρακτηρίζονται ἀπὸ δύο ζεύγη μεγίστων. Τὸ μεγαλύτερο μέγιστο ἀντιστοιχεῖ στὴν ἀρχικὴ γωνία διεύθυνσεως τῆς ἀσυμπτωτικῆς καμπύλης πρὸς τὰ δεξιὰ καὶ πάνω, ποὺ είναι ἡ ἐπικρατοῦσα διεύθυνση στὰ σχήματα 5. Ἡ γωνία αὐτὴ είναι λίγο μικρότερη ἀπὸ  $45^{\circ}$ . Τὸ δεύτερο (μικρότερο) μέγιστο ἐμφανίζεται σὲ μία γωνία λίγο μεγαλύτερη ἀπὸ  $45^{\circ}$ , καὶ ἀντιστοιχεῖ στὰ τόξα κατὰ τὰ δποῖα ἐπιστρέφουν οἱ καμπύλες οἱ παράλληλες πρὸς τὴν ἀρχικὴ διεύθυνση. Καθὼς τὸ  $K$  αὔξανει, τὰ 4 μέγιστα γίνονται ὀξύτερα καὶ πλησιάζουν ἐκατέρωθεν στὴ γωνία  $\varphi = 45^{\circ}$  καὶ στὴ γωνία  $\varphi = 45^{\circ} - 180^{\circ} = -135^{\circ}$ . Αὐτὸ δοφείλεται στὸ ὅτι γιὰ μεγάλα  $K$  ἡ διεύθυνση τῶν ἀσυμπτωτικῶν καμπυλῶν πλησιάζει πρὸς τὶς γωνίες  $45^{\circ}$  καὶ  $-135^{\circ}$ .

"Οταν τὸ  $K$  είναι μικρὸ (Κ=2, σχ. 6a) τὰ κύρια μέγιστα, ποὺ ἀντιστοιχοῦν στὴν ἀρχικὴ διεύθυνση τῆς ἀσυμπτωτικῆς καπύλης καὶ τὴν ἀντίθεσή της, ἔξακολουθοῦν νὰ ὑπάρχουν, ὑπάρχουν ὅμως 2 ἀκόμη δευτερεύοντα μέγιστα "Ομως καὶ αὐτὰ ἔξηγοῦνται ἀν παρακολουθήσουμε προσεκτικὰ τὴ μορφὴ τῆς ἀσυμπτωτικῆς καμπύλης (σχ. 5a).

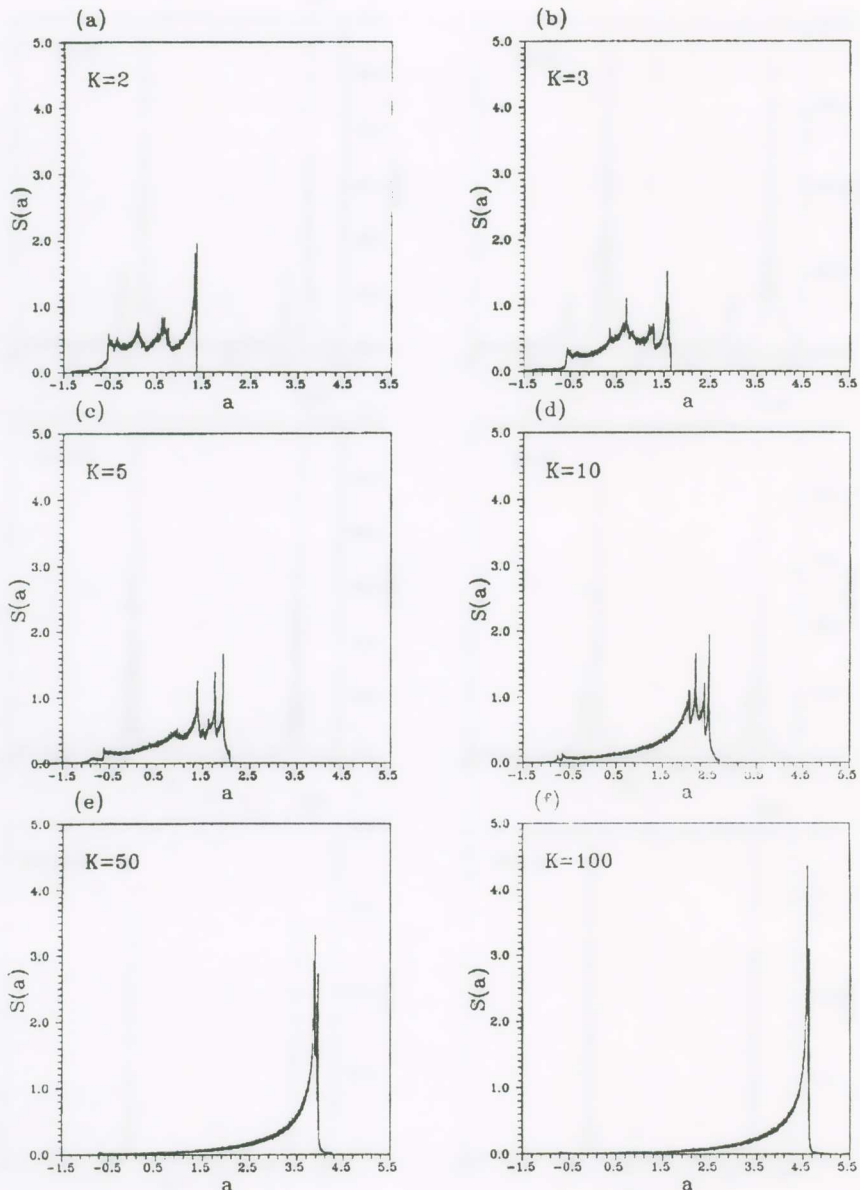
Τὰ φάσματα τῶν ἀριθμῶν διαστολῆς δίνονται στὸ σχ. 7. Παρατηροῦμε ὅτι γιὰ μεγάλα  $K$  (σχ. 7e,f) ἔχουμε δύο βασικὰ μέγιστα γιὰ μεγάλα θετικὰ α καὶ πολὺ κοντὰ μεταξύ τους. Γιὰ μικρότερα  $K$  ἔχουμε περισσότερα μέγιστα (σχ. 7a,b,c,d).



Σχ. 5a-ℓ. Οι άσταθείς άσυμπτωτικές καμπύλες της περιοδικής τροχιάς ( $x=y=0$ ) της τυπικής άπεικονίσεως διανυσματικών συστημάτων για διάφορους αριθμούς  $K$ : (a)  $K = 2$ , (b)  $K = 3$ , (c)  $K = 5$ , (d)  $K = 10$  (e)  $K = 50$ , (f)  $K = 100$ .



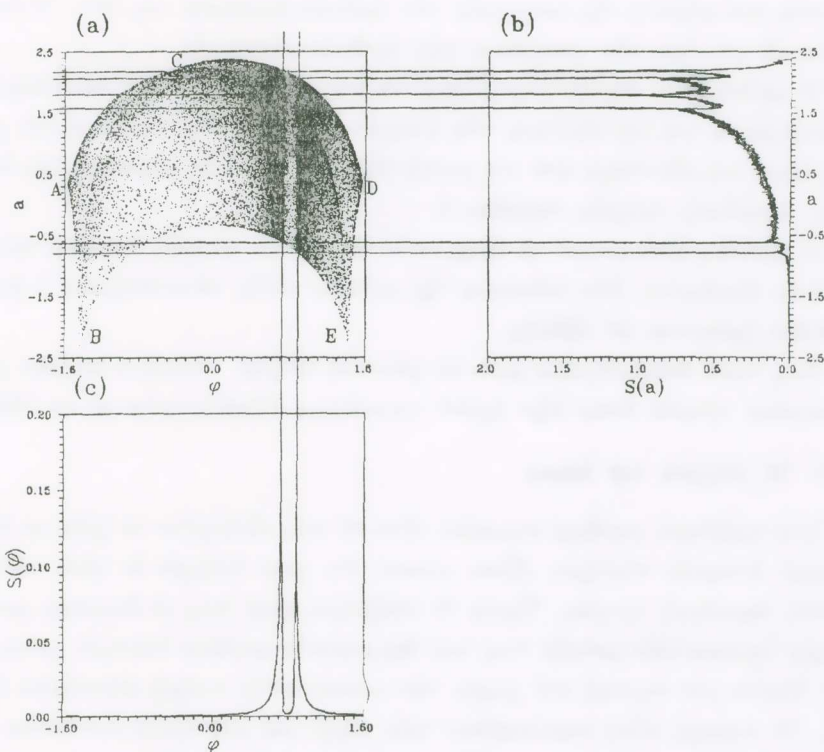
Σχ. 6a-f. Τὰ φάσματα τῶν γωνιῶν ἐλικώσεως χαοτικῶν τροχιῶν τῆς τυπικῆς ἀπεικόνισεως ὅταν (a)  $K=2$ , (b)  $K=3$ , (c)  $K=5$ , (d)  $K=10$ , (e)  $K=50$ , (f)  $K=100$ .



Σχ. 7a-f. Τα φάσματα τῶν ἀριθμῶν διαστολῆς χαοτικῶν τροχιῶν τῆς τυπικῆς ἀπεικόνισεως ὅταν (a)  $K=2$ , (b)  $K=3$ , (c)  $K=5$ , (d)  $K=10$ , (e)  $K=50$ , (f)  $K=100$ .

Γενικά τὰ φάσματα μετατοπίζονται πρὸς μεγαλύτερα α ὅταν τὸ K αὐξάνει. Αὐτὸ διάτοιχοι σὲ μεγαλύτερους χαρακτηριστικοὺς ἀριθμοὺς Lyapunov καὶ σὲ μεγαλύτερες ίδιοτιμὲς τῆς περιοδικῆς τροχιᾶς ( $x_0 = y_0 = 0$ ). Οἱ αὐξήσεις αὗτὲς εἶναι ἀναμενόμενες διότι γιὰ μεγαλύτερα K ἡ μὴ γραμμικότης τοῦ συστήματος καὶ τὸ διάτοιχο χάος εἶναι μεγαλύτερα.

Γιὰ νὰ ἔξηγήσουμε τὰ ἐπὶ μέρους μέγιστα τοῦ φάσματος τῶν ἀριθμῶν διαστολῆς χρησιμοποιήσαμε ἕνα διάγραμμα (a,φ) ποὺ δίνει τὸν ἀριθμὸ διαστολῆς a συναρτήσει τῆς γωνίας ἐλικώσεως φ (σχ. 8). Τὰ σημεῖα τοῦ διαγράμματος αὐτοῦ εἶναι



Σχ. 8a-c (a) Ἡ κατανομὴ 40.000 σημείων μιᾶς χαοτικῆς τροχιᾶς στὸ διάγραμμα (φ, a) καὶ τὰ φάσματα (b) τῶν ἀριθμῶν διαστολῆς καὶ (c) τῶν γωνιῶν ἐλικώσεως. Οἱ εύθειες γραμμὲς ποὺ συνδέουν τὰ σχῆματα (b) καὶ (c) μὲ τὸ (a) δείχνουν τὶς ἀντιστοιχίες τῶν μεγίστων τῶν φασμάτων μὲ τὰ μέγιστα πυκνότητος στὸ σχῆμα (a).

συγκεντρωμένα σὲ μία ζώνη ποὺ περιορίζεται ἀπὸ ὄρισμένες ὄριακὲς καμπύλες, μία κάτω (BE), μία δεξιὰ (ED), μία ἀριστερὰ (AB) καὶ δύο ἐπάνω (AC) καὶ (CD). Οἱ καμπύλες αὗτὲς δίνονται ἀναλυτικὰ καὶ ἔχουν τὶς ίδιότητες τῶν καυστικῶν καμ-

πυλών (Contopoulos et al 1999). Οι δύο καμπύλες του μεγίστου (AC) και (CD) τέμνονται και συνεχίζουν μέσα στήν περιοχή πού καλύπτεται άπό τὰ σημεῖα τῆς τροχιᾶς.

‘Η πυκνότης τῶν σημείων εἶναι μέγιστη (α) κοντά στὶς καυστικὲς καὶ (β) κυρίως κατὰ μῆκος τῶν διευθύνσεων φ πού ἀντιστοιχοῦν στὰ μέγιστα τοῦ φάσματος ἐλικώσεως (γραμμὲς πού ἀποτελοῦν ἐπέκταση τῶν εὑθεῶν τῶν μεγίστων ἀπὸ τὸ σχ. 8c μέσα στὸ σχ. 8a).

Ἐκεῖ ποὺ οἱ γραμμὲς τῶν μεγίστων πυκνότητος τέμνονται στὸ σχ. 8a ἔχουμε μέγιστα στήν τοπικὴ συγκέντρωση τῶν σημείων καὶ αὐτὰ ἀκριβῶς τὰ μέγιστα προβάλλονται στὰ μέγιστα τῆς κατανομῆς τῶν ἀριθμῶν διαστολῆς (σχ. 8b). Ἔτσι ἔξηγοῦνται τὰ μέγιστα τῶν φασμάτων τῶν ἀριθμῶν διαστολῆς.

‘Η μέθοδος ποὺ περιγράψαμε ἔξηγεῖ τὰ κύρια χαρακτηριστικὰ τῶν φασμάτων. ‘Η πληροφορία γιὰ τὴν ἔξήγηση τῶν φασμάτων δίνεται ἀπὸ τὴν δαμὴ τοῦ χώρου τῶν φάσεων καὶ εἰδικότερα ἀπὸ τὴν μορφὴ τῆς ἀσυμπτωτικῆς καμπύλης τῆς ἀπλούστερης περιοδικῆς τροχιᾶς περιόδου 1.

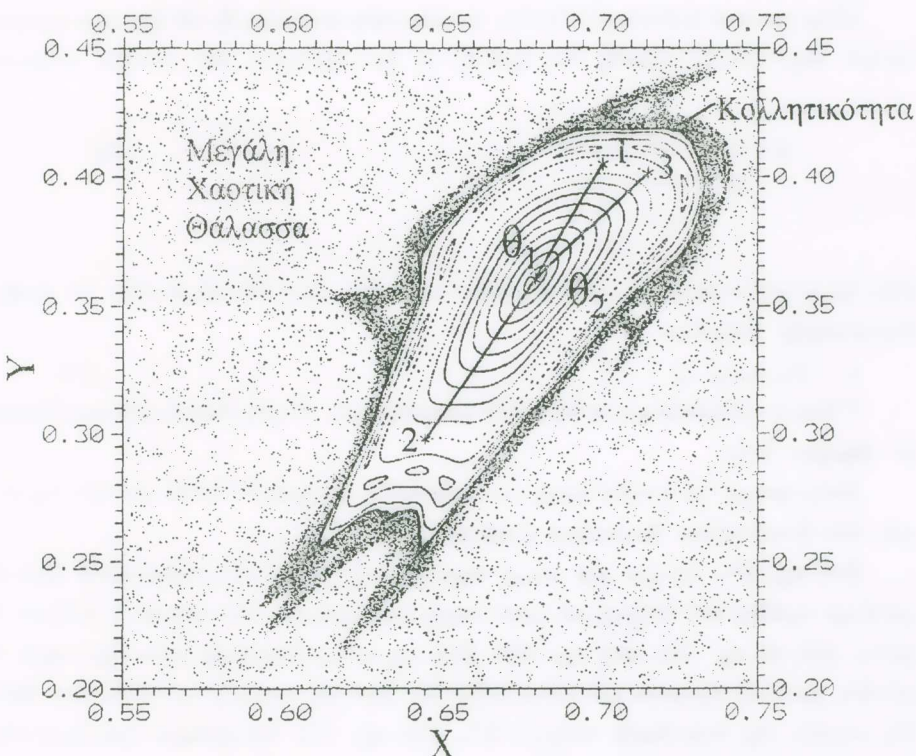
‘Η μέθοδος αὐτὴ μπορεῖ νὰ ἐφαρμοσθεῖ γενικώτερα σὲ κάθε δυναμικὸ σύστημα 2 βαθμῶν ἐλευθερίας. Μία ἐπέκταση τῆς μεθόδου αὐτῆς σὲ συστήματα 3 βαθμῶν ἐλευθερίας βρίσκεται σὲ ἔξέλιξη.

‘Εως τώρα ἀναφερθήκαμε μόνο σὲ χαοτικὲς τροχιές. Ἀνάλογα ἴσχύουν καὶ σὲ δργανωμένες τροχιές ὅπως εἶχε βρεθεῖ παλαιότερα (Contopoulos et al 1997).

### 3. Ἡ Αὔξηση τοῦ Χάους

‘Ενα πρόβλημα μεγάλης σημασίας εἶναι τὸ πῶς εἰσέρχεται τὸ χάος σὲ ἔνα μὴ γραμμικὸ δυναμικὸ σύστημα. Εἶναι γνωστὸ ὅτι χάος ὑπάρχει ἐν γένει κοντὰ σὲ ὀσταθεῖς περιοδικὲς τροχιές. ‘Ομως τὸ πρόβλημα εἶναι πῶς οἱ διάφορες χαοτικὲς περιοχὲς ἐπικοινωνοῦν μεταξὺ τους καὶ δημιουργοῦν μεγάλες περιοχὲς χάους. Στὸ σχ. 9 δίνεται μία περιοχὴ τοῦ χώρου τῶν φάσεων στήν τυπικὴ ἀπεικόνιση (1) μὲ K=5. ‘Η περιοχὴ αὐτὴ περιλαμβάνει τρία μέρη: (α) μία νησίδα εὐσταθείας γύρω ἀπὸ ἓνα κεντρικὸ σημεῖο ποὺ περιβάλλεται ἀπὸ ιλειστές ἀμετάβλητες καμπύλες καὶ διάφορες δευτερεύουσες νησίδες, (β) μία μεγάλη χαοτικὴ θάλασσα ποὺ ἐκτείνεται σὲ μεγάλη ἔκταση γύρω ἀπὸ τὴν νησίδα, καὶ (γ) μία περιοχὴ «κολλητικότητος» (stickiness) ὅπου μία τροχιὰ παραμένει γιὰ μεγάλο χρονικὸ διάστημα πρὸν διαφύγει πρὸς τὴν ἔξωτερη χαοτικὴ θάλασσα (σκιερὴ περιοχὴ ποὺ περιβάλλει τὴν νησίδα). Οἱ τροχιές αὐτὲς φαίνονται «κολλημένες» στὰ ὅρια τῆς νησίδας, πρὸν φύγουν πρὸς τὰ ἔξω. Τὸ πρόβλημα εἶναι πῶς ἐπικοινωνοῦν οἱ τροχιές τῆς περιοχῆς κολλητικότητος μὲ τὴν μεγάλη ἔξωτερη χαοτικα.

Κάθε άμετάβλητη καμπύλη (ή καμπύλη KAM, ἀπό τούς Kolmogorov, Arnold και Moser) έχει ένα ώρισμένο «άριθμό περιστροφῆς» που είναι λίστα με τὴν μέση γωνία στροφῆς τῶν εὐθειῶν ποὺ συνδέουν τὸ κεντρικὸ σημεῖο τῆς νησίδος μὲ τὰ διαδοχικὰ σημεῖα μιᾶς τροχιᾶς πάνω στὴν άμετάβλητη καμπύλη (γωνίες ὅπως οἱ  $\theta_1$ ,  $\theta_2$  στὸ σχ. 9). "Όταν έχουμε μία δευτερεύουσα περιοδικὴ τροχιὰ μέσα στὴ



Σχ. 9. Η δομὴ τῆς περιοχῆς τοῦ χώρου τῶν φάσεων κοντά στὴ μία ἀπὸ τὶς βασικὲς νησίδες τῆς τυπικῆς ἀπεικονίσεως γιὰ  $K=5$ .

νησίδα, καὶ μία ἀκολουθία ἀπὸ νησίδες, τότε ὁ ἀριθμὸς περιστροφῆς εἶναι ρητός. Π.χ. στὸ σχ. 10a, γιὰ  $K = 4.79$ , έχουμε γύρω ἀπὸ τὸ κέντρο 5 νησίδες ποὺ ἀντιστοιχοῦν σὲ ἀριθμὸ περιστροφῆς 2/5. "Εξω ἀπὸ τὶς 5 νησίδες ὑπάρχει μία τελευταία καμπύλη KAM ποὺ περιβάλλει τὶς 5 νησίδες. Η καμπύλη αὐτὴ KAM ὁρίζει τὰ δρια τῆς μεγάλης νησίδος καὶ δὲν ἐπιτρέπει τὴν ἐπικοινωνία τῆς ἐξωτερικῆς χαοτικῆς θάλασσας μὲ τὸ ἐσωτερικὸ τῆς νησίδος. "Ετσι, παρ' ὅτι μεταξὺ τῶν 5 νησίδων ὑπάρχει μία πενταπλὴ ἀσταθής περιοδικὴ τροχιὰ ποὺ συνο-

δεύεται άπό 5 μικρές χαοτικές περιοχές, δὲν ύπάρχει έπικοινωνία μεταξύ τῶν χαοτικῶν αὐτῶν περιοχῶν καὶ τοῦ ἔξωτερικοῦ χάους.

Όταν ὅμως τὸ K μεγαλώσει λίγο (σχ. 10b γιὰ K=4.8), ἡ ἔξωτερικὴ καμπύλη KAM ποὺ περιβάλλει τὶς 5 νησίδες ἔχει καταστραφεῖ καὶ τὸ ἔξωτερικὸ χάος διεισδύει στὶς 5 περιοχές μεταξύ τῶν 5 νησίδων. Τότε ἡ τελευταία καμπύλη KAM ποὺ δρίζει τὰ ὄρια τῆς κεντρικῆς νησίδος εἶναι μέσα ἀπὸ τὶς 5 νησίδες καὶ ἡρα πολὺ μικρότερη ἀπὸ τὴν τελευταία καμπύλη KAM τῆς περιπτώσεως τοῦ σχ. 10a.

Εἶναι γνωστὸ (Greene 1979) ὅτι ἡ τελευταία καμπύλη KAM ἔχει ἐνα «εὔγενή» ἀριθμὸ περιστροφῆς δηλαδὴ ἐνα ἀριθμό, a, ποὺ γράφεται σὰν συνεχὲς κλάσμα

$$a = \frac{1}{a_1 + \frac{1}{a_2 + \frac{1}{a_3 + \dots}}} \quad (4)$$

ὅπου τὰ a<sub>i</sub> γιὰ μεγάλα i (i > N γιὰ κάποιο δοθὲν N) εἶναι ἵσα μὲ μονάδα. Ό άριθμὸς περιστροφῆς γράφεται

$$a = [a_1, a_2, a_3, \dots] \quad (5)$$

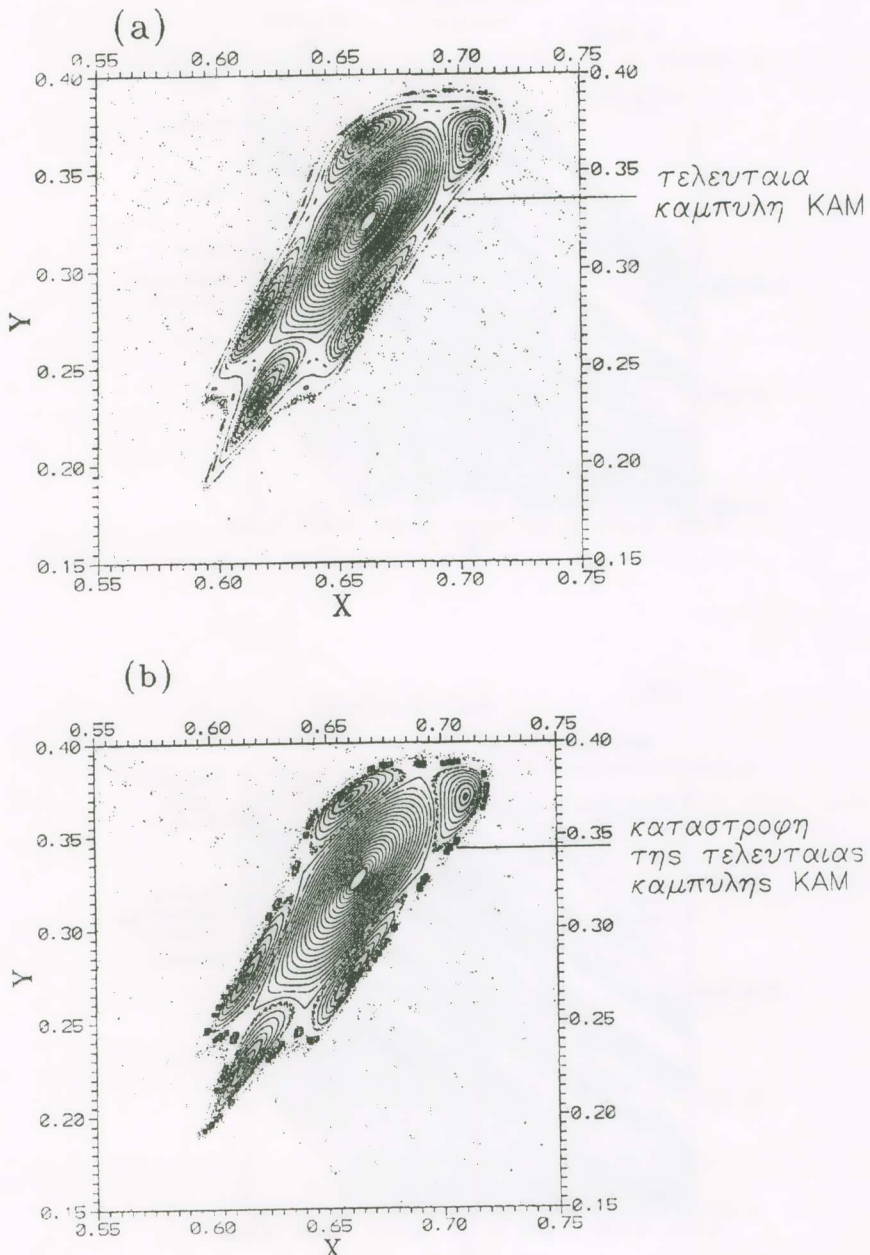
Όταν ἡ τελευταία καμπύλη KAM καταστραφεῖ, γίνεται ἐνας δακτύλιος Cantor\* μὲ ἀπειρες ὁπές.

Μελετήσαμε τὴν καταστροφὴ τῶν «εὔγενῶν» καμπυλῶν KAM καὶ τὴν δημιουργία τῶν ἀντιστοίχων δακτυλίων Cantor.

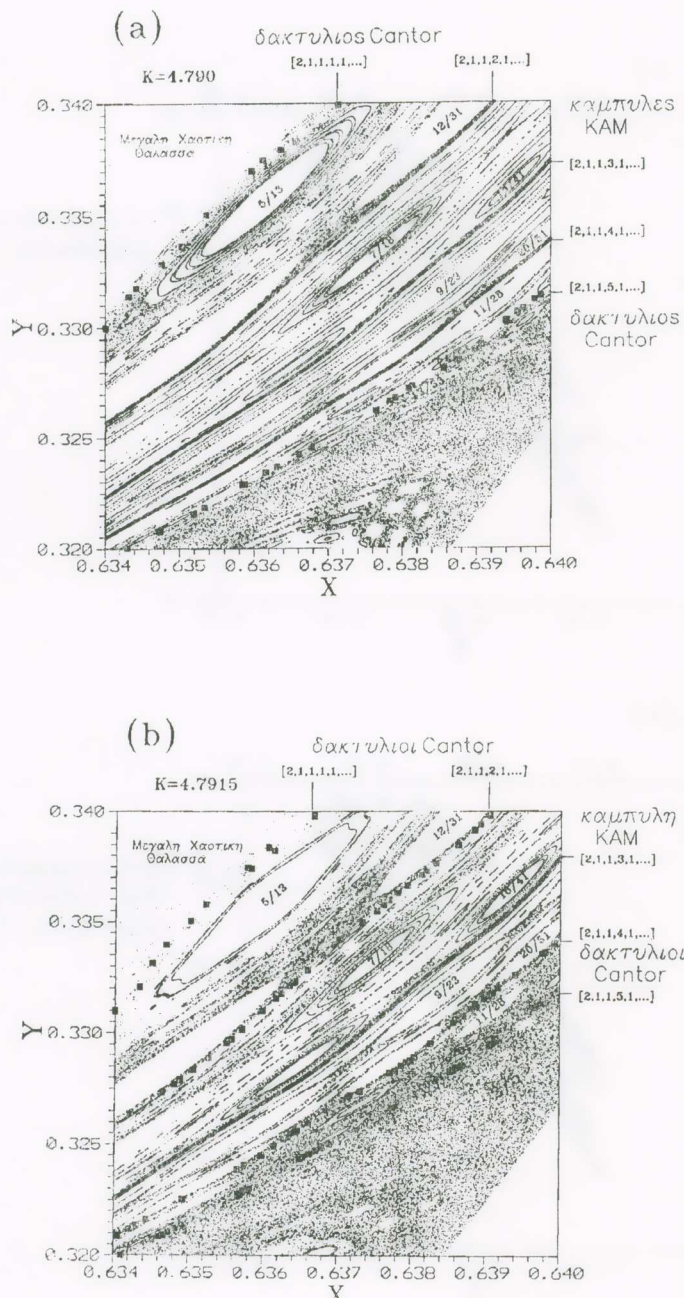
Στὸ σχ. 11a ἔχουμε μία μικρὴ περιοχὴ τοῦ χώρου τῶν φάσεων στὰ ὄρια τῆς μεγάλης νησίδος ποὺ δείχνει μὲ μεγαλύτερη λεπτομέρεια πῶς γίνεται ἡ αὔξηση τοῦ χάους ἀπὸ τὸ σχ. 10a στὸ σχ. 10b. Στὸ σχ. 11a,b βλέπουμε πάνω ἀριστερὰ τὴν μεγάλη χαοτικὴ θάλασσα καὶ κάτω δεξιὰ μία χαοτικὴ περιοχὴ κοντὰ σὲ ἐνα ἀσταθὲς σημεῖο τῆς περιοδικῆς τροχιᾶς 2/5. Στὸ σχ. 11a διακρίνουμε διάφορες εὐγενεῖς καμπύλες KAM ὅπως τὴν [2,1,1,2,1...] (οἱ τελεῖες σημαίνουν ὅτι δλοι οἱ ἀριθμοὶ a<sub>i</sub>, ἀνωτέρας τάξεως εἶναι ἵσοι μὲ 1), τὴν [2,1,1,3,1...] καὶ τὴν [2,1,1,4,1...]. Συγχρόνως διαπιστώνουμε ὅτι οἱ εὐγενεῖς καμπύλες [2,1,1,...] καὶ [2,1,1,5,1...] ἔχουν καταστραφεῖ καὶ ἔχουν γίνει δακτύλιοι Cantor.

Καθὼς τὸ K μεγαλώνει ἀπὸ K=4.790 σὲ K=4.7915 βλέπουμε στὸ σχ. 11b ὅτι ἔχουν καταστραφεὶ καὶ οἱ εὐγενεῖς καμπύλες [2,1,1,2,1...] καὶ [2,1,1,4,1..] ἀπὸ

\* Ή καμπύλη KAM ἀντιστοιχεῖ σὲ ἐνα δακτύλιο (torus) σὲ 3 διαστάσεις. Όταν καταστραφεῖ ὁ δακτύλιος, ἔχει μία ἀπειρία ἀπὸ ὁπές, μένει ὅμως ἐνας ἀμετάβλητος δακτύλιος Cantor (cantorus). Όνομάζεται ἐπίσης cantorus τὸ ἀμετάβλητο σύνολο στὴν ἐπιφάνεια τομῆς μὲ ἀπειροες ὁπές.



Σχ. 10a-b. Η περιοχή μικρών βασικής νησίδος με 5 δευτερεύουσες νησίδες όταν (a)  $K=4.79$  και (b)  $K=4.8$ .



Σχ. 11a-b. Μία περιοχή στὰ όρια τῆς βασικῆς νησίδος που περιέχει εύγενεις άμετάβλητες καμπύλες και δακτυλίους Cantor έτσι (a)  $K=4.790$ , (b)  $K=4.7915$ .

τὴν ἔξω καὶ τὴν μέσα πλευρὰ ἀντίστοιχα. Ἐπομένως τὸ χάρος αὐξάνει τόσο ἔξω ἀπὸ τὴν τελευταία καμπύλη KAM [2,1,4,3,1...] ὅσο καὶ μέσα ἀπὸ αὐτή. Τέλος ὅταν  $K=4.792$  καὶ ἡ τελευταία εὐγενής καμπύλη (τελευταία KAM) ἔχει καταστραφεῖ καὶ τὸ ἔξωτερικὸ χάρος ἐπικοινωνεῖ μὲ τὸ χάρος γύρω ἀπὸ τὴν ἀσταθῆ τροχιὰ 2/5.

Ἐνα τελευταῖο σημεῖο ποὺ διευκρινήσαμε εἰναι τὸ πῶς γίνεται ἡ διέλευση τῶν τροχιῶν ἀπὸ τὰ χάσματα τῶν cantori ὅταν καταστραφεῖ καὶ ἡ τελευταία καμπύλη KAM σὲ μία περιοχή. Μέχρι τώρα ἡ διάχυση διὰ μέσου τῶν cantori ἀντιμετωπίζονταν σὰν ἔνα στατιστικὸ φαινόμενο, ποὺ ἐθεωρεῖτο τυχαῖο. Ἐν τούτοις βρήκαμε ὅτι στὴν διάχυση μέσω τῶν δακτυλίων Cantor ὑπάρχει αὐστηρὴ νομοτέλεια.

Συγκεκριμένα μελετήσαμε τὴν δίοδο τροχιῶν διὰ μέσου τοῦ δακτυλίου Cantor  $a=[2,4,1,1..]$  ὅταν  $K=5$ . Στὴν περίπτωση αὐτὴ ὥν διακόψουμε τὸν εὐγενῆ ἀριθμὸ

$$a = \frac{1}{2 + \frac{1}{4 + \frac{1}{1 + \dots}}} \quad (6)$$

σὲ διάφορα ἐπίπεδα ἔχουμε τοὺς ἀριθμοὺς

$$\frac{1}{2}, \frac{4}{9}, \frac{5}{11}, \frac{9}{20}, \frac{14}{31}, \frac{23}{51}, \dots \quad (7)$$

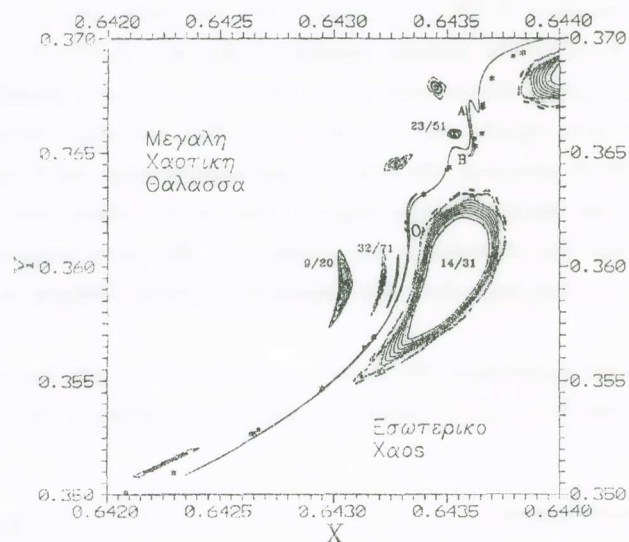
Οἱ περιοδικὲς τροχιὲς μὲ ἀριθμοὺς περιστροφῆς τῆς ἀκολουθίας (7) εἰναι εὔσταθεῖς καὶ περιβάλλονται ἀπὸ νησίδες.

Ἀπὸ αὐτὲς οἱ νησίδες  $1/2, 5/11, 14/31$  εἰναι μέσα ἀπὸ τὸν δακτύλιο Cantor (πρὸς τὸ κέντρο τῆς μεγάλης νησίδος, ποὺ εἰναι δεξιὰ καὶ ἔξω ἀπὸ τὸ σχῆμα), ἐνῶ οἱ ἄλλες νησίδες εἰναι ἔξω ἀπὸ τὸν δακτύλιο Cantor. Μερικὲς ἀπὸ τὶς νησίδες αὐτὲς φαίνονται στὸ σχ. 12a.

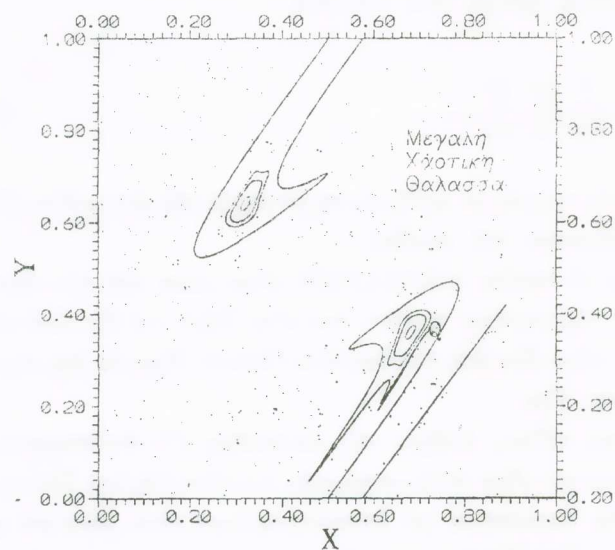
Οἱ ἀνωτέρας τάξεως ἀριθμοὶ τῆς ἀκολουθίας (7) ἀντιστοιχοῦν σὲ ἀσταθεῖς περιοδικὲς τροχιὲς ποὺ εἰναι πολὺ κοντὰ στὸν δακτύλιο Cantor. Στὸ σχ. 12a δύο ἀπὸ τὶς τροχιὲς αὐτὲς παρίστανται μὲ ἀστερίσκους ὅταν εἰναι μέσα καὶ μὲ τετράγωνα ἔξω ἀπὸ τὸν δακτύλιο Cantor καὶ εἰναι τόσο κοντὰ πρὸς τὸν δακτύλιο Cantor ὥστε δρίζουν κατὰ προσέγγιση τὰ δρικὰ τῶν χασμάτων του.

Γιὰ νὰ δοῦμε τώρα πῶς μία τροχιὰ διασχίζει τὸν δακτύλιο Cantor δὲν ἀρκεῖ νὰ ὑπολογίσουμε μία τυχαία τροχιὰ ποὺ ἀρχίζει μέσα ἀπὸ τὸν δακτύλιο Cantor καὶ

(a)



(b)



Σχ. 12 a,b (a) Η δίοδος διὰ μέσου τῶν χασμάτων ἐνὸς δακτυλίου Cantor ἀπὸ τὴν ἀσυμπτωτικὴν καμπύλην μιᾶς ἐσωτερικῆς ἀσταθοῦς περιοδικῆς τροχιᾶς γιὰ  $K = 5$ . (b) "Οταν ἐπεκταθεῖ ἡ ἀσυμπτωτικὴ καμπύλη φθάνει σὲ μεγάλες ἀποστάσεις μέσα στὴν μεγάλη χαοτικὴ θάλασσα ποὺ περιβάλλει τὶς νησίδες εὐσταθείας.

καταλήγει  $\epsilon$ ώ από αύτόν, γιατί κατά τη στιγμή που ή τροχιά διασχίζει ένα χάσμα του δακτυλίου Cantor ένα γένει τὸ σημεῖο τῆς τροχιᾶς είναι  $\epsilon$ ώ από τὸ ἐπίπεδο τομῆς.

Ἐτσι ὑπολογίσαμε τὴν ἀμετάβλητη καμπύλη μιᾶς ἀσταθοῦς περιοδικῆς τροχιᾶς (τῆς 97/215) που είναι μέσα από τὸν δακτύλιο Cantor. Τὸ ἀρχικὸ σημεῖο είναι τὸ Ο, καὶ ή ἀσυμπτωτικὴ καμπύλη ἀρχικὰ διευθύνεται πρὸς τὰ κάτω καὶ ἀριστερά. Ἡ ἀσυμπτωτικὴ καμπύλη κάνει μερικὲς ταλαντώσεις, ἀριστερὰ καὶ κάτω απὸ τὸ Ο που είναι σαφῶς από τὴν ἐσωτερικὴ πλευρὰ τοῦ δακτυλίου Cantor. Κατόπιν ὅμως διευθύνεται πρὸς τὰ ἄνω καὶ δεξιὰ κάνοντας ἐπίσης μερικὲς ταλαντώσεις καὶ βγαίνει σαφῶς απὸ τὴν  $\epsilon$ ώ πλευρὰ τοῦ δακτυλίου Cantor.

Ἄν συνεχίσουμε τὸν ὑπολογισμὸ τῆς ἀσυμπτωτικῆς καμπύλης γιὰ μεγαλύτερο χρόνο (δηλαδὴ μεγαλύτερο μῆκος), βλέπουμε ὅτι ἡ καμπύλη κάνει πολλὲς ταλαντώσεις μέσα καὶ  $\epsilon$ ώ απὸ τὸν δακτύλιο Cantor, τελικὰ ὅμως πηγαίνει σὲ μεγάλες ἀποστάσεις  $\epsilon$ ώ απὸ αὐτὸν. Υπολογίσαμε ὅτι ἔνα μῆκος  $\Delta S = 10^{-10}$  κοντὰ σὲ μία ἀσταθῆ περιοδικὴ τροχιά μέσα απὸ τὸν δακτύλιο Cantor χρειάζεται 6 περιόδους γιὰ νὰ φθάσει στὴν  $\epsilon$ ώτερικὴ χαοτικὴ θάλασσα.

Στὸ σχ. 12b βλέπουμε τὶς δύο βασικὲς νησίδες τοῦ χώρου τῶν φάσεων καὶ ἔνα τμῆμα τῆς ἀσυμπτωτικῆς καμπύλης πέραν τοῦ σημείου Q. Βλέπουμε ὅτι ἡ ἀσυμπτωτικὴ καμπύλη κάνει πρῶτα μία περιστροφὴ μὲ ταλαντώσεις γύρω απὸ τὴν δεξιὰ νησίδα. Μετὰ φεύγει πρὸς τὰ κάτω καὶ συνεχίζει λόγω τοῦ modulo 1 τῆς ἀπεικονίσεως (1), απὸ τὴν ἐπάνω πλευρὰ τοῦ τετραγώνου καὶ περιβάλλει τὴν ἐπάνω ἀριστερὰ νησίδα. Ἀν ὑπολογίσουμε ἀκόμη περισσότερο τὴν ἀσυμπτωτικὴ καμπύλη, αὐτὴ τελικὰ γεμίζει ὅλο τὸ χῶρο τοῦ τετραγώνου χωρὶς νὰ τμήσει τὸν ἑαυτόν της.

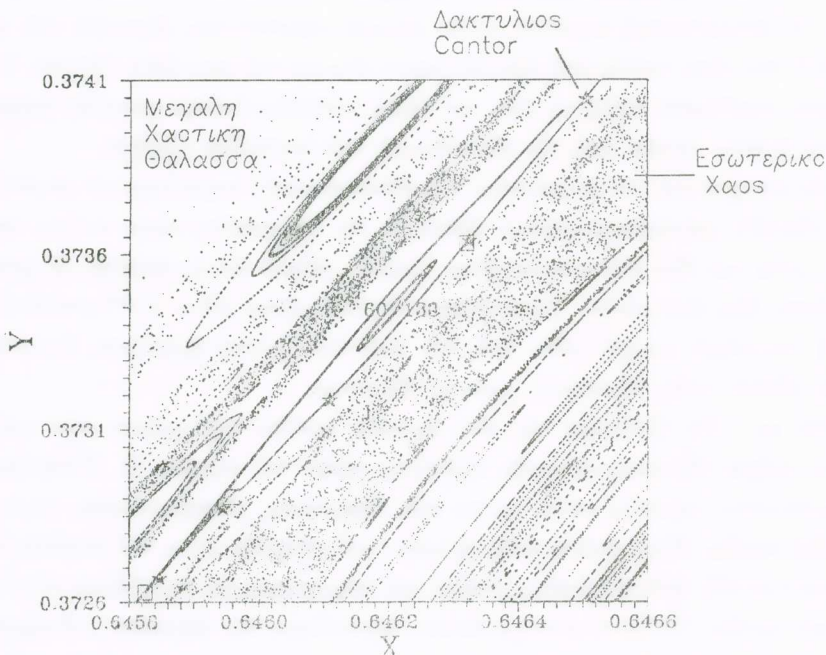
Μὲ τὸν τρόπο αὐτὸ  $\epsilon$ χουμε τὸ πρῶτο παράδειγμα τῆς διασχίσεως ἐνὸς δακτύλιου Cantor, που δῆμητε στὴν διάχυση τῶν τροχιῶν καὶ στὴν ἐνοποίηση τοῦ χάους μέσα απὸ τὸν δακτύλιο Cantor μὲ τὴ μεγάλη χαοτικὴ θάλασσα  $\epsilon$ ώ απὸ τὸν δακτύλιο.

Οταν τὸ K μικραίνει, φθάνουμε σὲ μία κρίσιμη τιμὴ  $K = 4.9974$  που ὁ δακτύλιος Cantor (cantorus) γίνεται κανονικὸς δακτύλιος (torus) δηλαδὴ κλειστὴ καμπύλη KAM. Γιὰ K μικρότερα απὸ K<sub>c</sub> δὲν ὑπάρχει καμμία διάχυση τροχιῶν πρὸς τὰ  $\epsilon$ ώ. "Οταν τὸ K είναι λίγο μεγαλύτερο απὸ τὸ K<sub>c</sub> ὑπάρχει διάχυση πρὸς τὰ  $\epsilon$ ώ, ἀλλὰ αὐτὴ είναι πολὺ βραδεῖα. "Οταν  $K = 4.998$  (σχ. 13) παρατηροῦμε ὅτι ἡ ἀσυμπτωτικὴ καμπύλη διασχίζει τὸν δακτύλιο Cantor μετὰ απὸ 9 περιόδους, ἀλλὰ θέλει  $10^4$  περιόδους γιὰ νὰ φθάσει στὴν χαοτικὴ θάλασσα, δηλαδὴ πολὺ μεγαλύτερο χρόνο ἀπ' ὅπι στὴν περίπτωση  $K = 5$ .

Τὸ παράδειγμα αὐτὸ μᾶς δείχνει ὅτι είναι δυνατὸν σὲ κάθε μὴ γραμμικὸ δυναμικὸ σύστημα νὰ παρακαλουθήσουμε τὴν μορφὴ τοῦ χάους καὶ τὴν  $\epsilon$ έλιξη τῶν

χαοτικῶν τροχιῶν ὅταν τὸ χάος αὐξάνει καθὼς αὐξάνει ἡ μὴ γραμμικότης τοῦ συστήματος.

Τὰ συμπεράσματα τῆς μελέτης αὐτῆς ἔχουν ἐφαρμογὲς σὲ διάφορους κλάδους τῆς Ἀστρονομίας, ἀπὸ τὸ πλανητικό μας σύστημα μέχρι τοὺς γαλαξίες καὶ τὸ Σύμ-



Σχ. 13. Διόδος διὰ μέσου τῶν χασμάτων ἐνὸς δακτυλίου Cantor ἀπὸ τὴν ἀσυμπτωτικὴν ακμπύλη μιᾶς ἐσωτερικῆς ἀσταθοῦς περιοδικῆς τροχιᾶς γιὰ  $K = 4.998$ .

παν δόλον ληρο. "Ἔχουν ὅμως ἀκόμη ἐφαρμογὲς στὴν Φυσικὴ τοῦ πλάσματος καὶ στὴ Φυσικὴ τῶν ἐπιταχυντῶν ἀλλὰ καὶ σὲ ἄλλους κλάδους τῆς ἐπιστήμης, ὅπως στὴν Χημεία καὶ τὴ Βιολογία.

#### ΒΙΒΛΙΟΓΡΑΦΙΑ

- Contopoulos, G. and Voglis, N.: 1999, «Dynamical Spectra», in Steves, B.A. and Roy, A.E. (Eds) «The Dynamics of Small Bodies in the Solar System», Kluwer Academic Publishers 429.  
 Contopoulos, G., Voglis, N., Efthymiopoulos, C., Froeschlé, C., Gonczi, R., Lega, E., Dvorak, R. and Lohinger, E.: 1997, Cel. Mech. Dyn. Astron. 67, 293.

- Contopoulos, G., Efthymiopoulos, C. and Voglis, N.: 1999, «The Form and Significance of Dynamical Spectra», in Dvorak, R. et al. (Eds) «Modern Astrometry and Astrophysics», Austrian Academy of Sciences 171.
- Contopoulos, G., Voglis, N. and Efthymiopoulos, C.: 1999, «Chaos in Relativity and Cosmology», Cel. Mech. Dyn. Astron. (in press).
- Efthymiopoulos, C., Voglis, N. and Contopoulos, G.: 1999, «Angular Dynamical Spectra and their Applications», in Steves, B.A., and Roy, A. E. (Eds), «The Dynamics of small Bodies in the Solar System», Kluwer Academic Publishers 455.
- Efthimiopoulos, C., Contopoulos, G. and Voglis, N.: 1999 «Cantori and Asymptotic Curves, in the Stickiness Region», Cel. Mech. Dyn. Astron. (in press).
- Greene, J.M.: 1979, J. Math. Phys. 20, 1183.
- Voglis, N. and Contopoulos, G.: 1994, J. Phys. A27, 4899.
- Voglis, N., Contopoulos, G. and Efthymiopoulos, C.: 1999, «Detection of Ordered and Chaotic Orbits using Dynamical Spectra», Cel. Mech. Dyn. Astron. (in press).

## S U M M A R Y

### Order and Chaos in Phase Space

We study the relations between the asymptotic curves of simple periodic orbits of a dynamical system and the spectra of stretching numbers and helicity angles. As examples we consider the standard map and the Hénon map. The main characteristics of the spectra are explained by the form of the asymptotic curves. When the nonlinearity parameter is large these systems appear as random; however their spectra are very different from the spectra of a random system. Then we study the increase of chaos by the joining of various chaotic domains. We give for the first time figures that show the crossing of destroyed invariant tori (cantori), by asymptotic curves of periodic orbits, that lead to a large degree of chaos.